

04;07  
 ©1994 г.

## РЕЛАКСАЦИЯ ПЛАЗМЫ ОБЪЕМНОГО РАЗРЯДА В ИМПУЛЬСНЫХ СО<sub>2</sub> И XeCl ЛАЗЕРАХ

*B.V. Лисенков, B.B. Осипов*

Институт электрофизики, 620219, Екатеринбург

(Поступило в Редакцию 19 августа 1993 г.

В окончательной редакции 9 февраля 1994 г.)

Рассматривалась релаксация плазмы объемного разряда для сред CO<sub>2</sub> и XeCl лазеров давления  $\sim 1$  атм. При этом было проведено сравнение хода рекомбинационных процессов в плазме с начальной концентрацией электронов  $10^{14} - 10^{15}$  см<sup>-3</sup>, типичной для разряда, и  $10^{16} - 10^{17}$  см<sup>-3</sup>, типичной для неоднородностей в разряде. Показано, что повышение начальной концентрации электронов до уровня  $10^{16} - 10^{17}$  см<sup>-3</sup> качественно меняет процесс релаксации плазмы в среде CO<sub>2</sub> лазера. Результаты расчетов дают основание считать, что неоднородность концентрации электронов может сохраняться в плазме CO<sub>2</sub> лазера вплоть до  $\sim 10^{-5}$  с, а в плазме XeCl лазера — до  $\sim 10^{-6}$  с. Отмечено также, что концентрация заряженных частиц в обеих средах к моменту времени  $\sim 10^{-5}$  с составляет величину  $\sim 10^{11}$  см<sup>-3</sup>.

### Постановка и метод решения задачи

Проблема создания лазеров, возбуждаемых цугом импульсов с частотой следования  $\sim 10^5 - 10^7$  Гц, наталкивается на ряд серьезных трудностей, обусловленных прежде всего контракцией объемного разряда [1]. При этом образование канала на любом из импульсов после первого происходит, как правило, на стадии формирования разряда. Это указывает на то, что к моменту подачи на межэлектродный промежуток высоковольтного импульса не завершился процесс релаксации плазмы, образованной предыдущим импульсом. В частности, не успевают исчезнуть неоднородности в распределении концентрации заряда по объему, которые, как правило, всегда имеют место в плазме разряда (например, из-за наличия катодного пятна). Это может служить причиной неоднородного начального распределения поля, а значит, и причиной образования канала на ранней стадии разряда.

Оценки релаксации плазмы с учетом ионов только основных компонент активной среды показывают, что спустя  $\sim 10^{-7}$  с концентрация

объемных зарядов в основном объеме и неоднородностях должна выравняться. Ясно, что такой подход не может объяснить экспериментальные факты и требуется учет более широкого набора плазмохимических реакций.

Целью настоящей работы является анализ кинетики процессов релаксации плазмы с различной начальной концентрацией зарядов при учете широкого набора плазмохимических реакций в активных средах  $\text{CO}_2$  и  $\text{XeCl}$  лазеров как наиболее мощных и широко используемых.

Ранее в ряде работ [2–5] были проведены достаточно подробные членные исследования плазмохимических процессов в  $\text{CO}_2$  и  $\text{XeCl}$  лазерах. Однако эти работы были в основном ориентированы на оптимизацию состава рабочей смеси газов для улучшения ее излучательных характеристик или уменьшения скорости ее деградации. Поэтому в них не уделялось достаточного внимания релаксации плазмы, особенно при повышенных концентрациях заряда.

Известно, что в сильноточных объемных разрядах средняя концентрация зарядов составляет величину  $\sim 10^{14} - 10^{15} \text{ см}^{-3}$ . Однако в таких разрядах, как правило, существуют отдельные зоны в виде диффузных нитей, катодных пятен или неполностью развитых каналов, в которых концентрация электронов может достигать  $10^{16} - 10^{17} \text{ см}^{-3}$ . Поэтому представляет интерес проследить, как после прекращения действия электрического поля релаксирует плазма в этих зонах. При этом важно выяснить, в какой момент времени концентрация плазмы выравниивается и наличие объемного заряда не приведет к поперечному искажению поля в промежутке при подаче на него последующего импульса напряжения.

Решение задачи производилось последовательно в два этапа. На первом этапе моделировался процесс создания в постоянном электрическом поле плазмы с концентрацией заряда (электронов)  $10^{14}$ ,  $10^{15}$ ,  $10^{16}$  и  $10^{17} \text{ см}^{-3}$ . Для создания концентраций  $10^{14}$  и  $10^{15} \text{ см}^{-3}$  величина  $E/P$  ( $E$  — напряженность поля,  $P$  — давление газа) задавалась  $25 \text{ кВ/см}\cdot\text{атм}$  в среде  $\text{CO}_2$  лазера и  $5 \text{ кВ/см}\cdot\text{атм}$  в среде  $\text{XeCl}$  лазера. Эти величины близки к экспериментальным значениям [6,7]. Для создания концентраций  $10^{16}$  и  $10^{17} \text{ см}^{-3}$  величина поля полагалась в 5 раз больше, поскольку неоднородности в разряде формируются, как правило, в областях усиленного поля. На втором этапе рассчитывалось поведение компонент плазмы во времени в отсутствие электрического поля после достижения заданной концентрации электронов. Оценки показали, что достаточно корректно вкладом диффузии в процесс выравнивания концентрации заряда можно пренебречь.

Система дифференциальных уравнений для компонент решалась методом Розенброка 3-го порядка точности [8]. Функция распределения электронов по энергиям, необходимая для вычисления ряда констант скоростей реакций, определялась с помощью уравнения Больцмана [9].

## Релаксация плазмы в $\text{CO}_2$ лазере

Применительно к проблеме создания  $\text{CO}_2$  лазеров исследовалась релаксация плазмы в смеси  $\text{CO}_2 : \text{N}_2 : \text{He} = 1 : 1 : 3$  атмосферного давления с температурой 300 К.

Таблица 1. Реакции для среды CO<sub>2</sub> лазера

Номер	Реакция	Коэффициент скорости	Ссылка
1	2	3	4
Ионизация			
1	N <sub>2</sub> + e → N <sub>2</sub> <sup>+</sup> + 2e		Уравнение Больцмана
2	He + e → He <sup>+</sup> + 2e		То же
3	NO + e → NO <sup>+</sup> + 2e		» »
4	NO <sub>2</sub> + e → NO <sub>2</sub> <sup>+</sup> + 2e		» »
5	N <sub>2</sub> O + e → N <sub>2</sub> O <sup>+</sup> + 2e		» »
Диссоциативное прилипание			
6	NO + e → N + O <sup>-</sup>		» »
7	NO <sub>2</sub> + e → NO + O <sup>-</sup>		» »
8	N <sub>2</sub> O + e → N <sub>2</sub> + O <sup>-</sup>		» »
Ассоциативный отрыв			
9	O <sup>-</sup> + N <sub>2</sub> → N <sub>2</sub> O + e	1.0 · 10 <sup>-12</sup>	[4]
10	O <sup>-</sup> + NO → NO <sub>2</sub> + e	1.8 · 10 <sup>-8</sup>	[4]
Реакции нейтралов			
11	O + NO + M → NO <sub>2</sub> + M	9.4 · 10 <sup>-32</sup>	[4]
12	N + O + M → NO + M	1.0 · 10 <sup>-32</sup>	[4]
13	N + N + M → N <sub>2</sub> + M	4.4 · 10 <sup>-33</sup>	[4]
Электрон-ионная рекомбинация			
14	N <sub>2</sub> <sup>+</sup> + e → N + N	2.7 · 10 <sup>-7</sup>	[4]
15	NO <sub>2</sub> <sup>+</sup> + e → N + O <sub>2</sub>	7.0 · 10 <sup>-8</sup>	[4]
16	NO <sup>+</sup> + e → N + O	5.8 · 10 <sup>-7</sup>	[9]
17	N <sub>2</sub> O <sup>+</sup> + e → N <sub>2</sub> + O	7.0 · 10 <sup>-8</sup>	[4]
18	N <sub>2</sub> <sup>+</sup> + e + M → N <sub>2</sub> + M	1.0 · 10 <sup>-26</sup>	[9]
19	NO <sup>+</sup> + e + M → NO + M	1.0 · 10 <sup>-26</sup>	[9]
20	N <sup>+</sup> + e + M → N + M	1.0 · 10 <sup>-26</sup>	[9]
Ион-ионная рекомбинация			
21	NO <sup>+</sup> + CO <sub>3</sub> <sup>-</sup> → CO <sub>2</sub> + NO + O	6.0 · 10 <sup>-7</sup>	[4]
22	NO <sup>+</sup> + CO <sub>4</sub> <sup>-</sup> → CO <sub>2</sub> + NO + O <sub>2</sub>	6.0 · 10 <sup>-7</sup>	[4]
23	NO <sup>+</sup> + O <sub>2</sub> <sup>-</sup> → O <sub>2</sub> + N + O	5.8 · 10 <sup>-7</sup>	[4]
24	NO <sup>+</sup> + O <sup>-</sup> → O + N + O	4.9 · 10 <sup>-7</sup>	[4]
25	O <sup>-</sup> + N <sub>2</sub> <sup>+</sup> → O + N <sub>2</sub>	2.0 · 10 <sup>-7</sup>	[9]
26	O <sub>2</sub> <sup>-</sup> + N <sub>2</sub> <sup>+</sup> → O <sub>2</sub> + N <sub>2</sub>	2.0 · 10 <sup>-7</sup>	[9]
27	O <sub>3</sub> <sup>-</sup> + NO <sub>2</sub> <sup>+</sup> → O <sub>3</sub> + NO <sub>2</sub>	2.0 · 10 <sup>-7</sup>	[9]
28	O <sub>3</sub> <sup>-</sup> + NO <sup>+</sup> → O <sub>3</sub> + NO	2.0 · 10 <sup>-7</sup>	[9]
29	O <sub>2</sub> <sup>-</sup> + NO <sup>+</sup> → O <sub>2</sub> + NO	2.0 · 10 <sup>-7</sup>	[9]
30	O <sub>2</sub> <sup>-</sup> + N <sub>2</sub> <sup>+</sup> → O <sub>2</sub> + 2N	1.0 · 10 <sup>-7</sup>	[9]
31	O <sub>3</sub> <sup>-</sup> + N <sub>2</sub> <sup>+</sup> → O <sub>3</sub> + 2N	1.0 · 10 <sup>-7</sup>	[9]

Таблица 1. (продолжение)

1	2	3	4
32	$N^+ + O^- \rightarrow N + O$	$2.0 \cdot 10^{-7}$	[9]
33	$O^- + O^+ + N_2 \rightarrow O_2 + N_2$	$2.0 \cdot 10^{-25}$	[9]
34	$O^- + N_2^+ + M \rightarrow N_2O + M$	$2.0 \cdot 10^{-25}$	[9]
35	$O_2^- + N_2^+ + M \rightarrow O_2 + N_2 + M$	$2.0 \cdot 10^{-25}$	[9]
36	$O^- + NO^+ + M \rightarrow NO_2 + M$	$2.0 \cdot 10^{-25}$	[9]
37	$O_2^- + NO^+ + M \rightarrow O_2 + NO + M$	$2.0 \cdot 10^{-25}$	[9]
38	$C_3O_4^+ + CO_3^- \rightarrow 2CO + O + 2CO_2$	$3.0 \cdot 10^{-7}$	
39	$CO^+ + CO_3^- \rightarrow CO + O + CO_2$	$3.0 \cdot 10^{-7}$	
40	$C_2O_4^+ + CO_3^- \rightarrow 3CO_2 + O$	$3.0 \cdot 10^{-7}$	
41	$C_2O_2^+ + CO_3^- \rightarrow 2CO + O + CO_2$	$1.0 \cdot 10^{-7}$	
42	$C_2O_3^+ + CO_3^- \rightarrow CO + O + 2CO_2$	$1.0 \cdot 10^{-7}$	
43	$CO_4^+ + CO_3^- \rightarrow O_2 + O + 2CO_2$	$1.0 \cdot 10^{-7}$	
44	$CO_3^+ + CO_4^- \rightarrow O + O_2 + 2CO_2$	$3.0 \cdot 10^{-7}$	
45	$CO_3^+ + CO_3^- \rightarrow 2O + 2CO_2$	$3.0 \cdot 10^{-7}$	
46	$N_2O^+ + CO_3^- \rightarrow N_2O + O + CO_2$	$1.0 \cdot 10^{-7}$	
47	$N_2O^+ + CO_4^- \rightarrow N_2O + O_2 + CO_2$	$1.0 \cdot 10^{-7}$	

## Ион-молекулярные реакции

48	$CO_2^+ + NO \rightarrow NO^+ + CO_2$	$1.0 \cdot 10^{-10}$	[4]
49	$He^+ + N_2 \xrightarrow[]{} N^+ + N + He$ $\quad\quad\quad\downarrow N_2^+ + He$	$1.7 \cdot 10^{-9}$ $1.5 \cdot 10^{-9}$	[9] [9]
50	$He^+ + CO \rightarrow C^+ + O + He$	$1.7 \cdot 10^{-9}$	[9]
51	$He^+ + NO \rightarrow N^+ + O + He$	$1.8 \cdot 10^{-9}$	[9]
52	$He^+ + O_2 \rightarrow O^+ + O + He$	$2.1 \cdot 10^{-9}$	[9]
53	$He^+ + CO_2 \xrightarrow[]{} O^+ + CO + He$ $\quad\quad\quad\downarrow CO^+ + O + He$	$1.2 \cdot 10^{-9}$ $1.2 \cdot 10^{-9}$	[9] [9]
54	$N^+ + CO \rightarrow CO^+ + N$	$5.0 \cdot 10^{-10}$	[9]
55	$N^+ + O_2 \xrightarrow[]{} O_2^+ + N$ $\quad\quad\quad\downarrow NO^+ + O$	$5.0 \cdot 10^{-10}$ $4.5 \cdot 10^{-10}$	[9] [9]
56	$N_2^+ + CO_2 \rightarrow CO_2^+ + N$	$1.5 \cdot 10^{-9}$	[9]
57	$N^+ + N_2O \rightarrow NO^+ + N_2$	$5.5 \cdot 10^{-10}$	[9]
58	$N_2^+ + NO \rightarrow NO^+ + N_2$	$4.9 \cdot 10^{-10}$	[9]
59	$N_2^+ + CO_2 \rightarrow CO_2^+ + N_2$	$9.0 \cdot 10^{-10}$	[9]
60	$N_2^+ + N_2O \xrightarrow[]{} NO^+ + N_2 + N$ $\quad\quad\quad\downarrow N_2O^+ + N_2$	$4.0 \cdot 10^{-10}$ $5.0 \cdot 10^{-10}$	[9] [9]
61	$N_2^+ + O \rightarrow NO^+ + N$	$2.5 \cdot 10^{-10}$	[9]
62	$N_2^+ + CO \rightarrow CO^+ + N_2$	$7.0 \cdot 10^{-11}$	[9]
63	$N_2^+ + O_2 \rightarrow O_2^+ + N_2$	$1.1 \cdot 10^{-10}$	[9]
64	$O^+ + N_2 + He \rightarrow N_2O^+ + He$	$5.4 \cdot 10^{-29}$	[9]

П р и м е ч а н и е. Размерности коэффициентов скорости одно-, двух- и трехчастичных реакций  $c^{-1}$ ,  $cm^3 \cdot c^{-1}$ ,  $cm^6 \cdot c^{-1}$  соответственно.

Плазмохимическая модель включала в себя следующие компоненты: электроны, CO, O, O<sub>2</sub>, C, O<sub>3</sub>, Co(A<sup>3</sup>Π), O<sub>2</sub>(A<sup>3</sup>Σ<sup>+</sup>u), O(1S<sub>o</sub>), N, N<sub>2</sub>O, NO<sub>2</sub>, CO<sub>2</sub><sup>+</sup>, CO<sup>+</sup>, O<sub>2</sub><sup>+</sup>, CO<sub>3</sub><sup>+</sup>, CO<sub>4</sub><sup>+</sup>, C<sub>2</sub>O<sub>2</sub><sup>+</sup>, C<sub>2</sub>O<sub>4</sub><sup>+</sup>, C<sub>2</sub>O<sub>3</sub><sup>+</sup>, C<sub>3</sub>O<sub>4</sub><sup>+</sup>, O<sup>+</sup>, C<sup>+</sup>, N<sub>2</sub><sup>+</sup>, He<sup>+</sup>, N<sup>+</sup>, N<sub>2</sub>O<sup>+</sup>, NO<sup>+</sup>, NO<sub>2</sub><sup>+</sup>, CO<sub>4</sub><sup>-</sup>, O<sup>-</sup>, O<sub>2</sub><sup>-</sup>, CO<sub>3</sub><sup>-</sup>, O<sub>3</sub><sup>-</sup>. В модели были использованы реакции согласно данным работы [10], которые были дополнены приведенными в табл. 1. Из-за отсутствия данных константы реакций иона CO<sub>3</sub><sup>-</sup> с положительными кластерными ионами (CO<sub>3</sub><sup>+</sup>, CO<sub>4</sub><sup>+</sup>, C<sub>2</sub>O<sub>2</sub><sup>+</sup>, C<sub>2</sub>O<sub>4</sub><sup>+</sup>, C<sub>2</sub>O<sub>3</sub><sup>+</sup>, C<sub>3</sub>O<sub>4</sub><sup>+</sup>) были взяты такими же, как и иона CO<sub>4</sub><sup>-</sup>. Константы реакций N<sub>2</sub>O<sup>+</sup> с CO<sub>3</sub><sup>-</sup> и CO<sub>4</sub><sup>-</sup> были взяты такими же, как и у NO<sup>+</sup>. Если указанные реакции не учитываются, то происходит нереальное накопление кластерных ионов, а также ионов N<sub>2</sub>O<sup>+</sup> и CO<sub>3</sub><sup>-</sup>. Данные по сечениям, использованные в уравнении Больцмана, были взяты из работы [11].

Зависимости концентраций электронов и основных ионов приведены на рис. 1–3. Отсчет времени на всех рисунках ведется с момента достижения требуемой начальной концентрации электронов.

Проведем анализ полученных результатов. Видно, что можно выделить две стадии в развитии основных рекомбинационных процессов. Начальная стадия имеет малую длительность и определяется рекомбинацией между электронами и кластерными положительными ионами, обладающей высокой скоростью (константа  $\sim 10^{-6}$  см<sup>-3</sup> · с<sup>-1</sup>). Последующая стадия, существенно более длительная, характеризуется рекомбинацией между электронами и остальными ионами, а также ион-ионной рекомбинацией (константа  $\sim 10^{-7}$  см<sup>-3</sup> · с<sup>-1</sup>). Начальная стадия рекомбинации заканчивается резким уменьшением концентрации электронов или кластерных положительных ионов в зависимости от их соотношения в конце стадии ионизации, т.е. первого этапа расчетов.

В случаях с начальной концентрацией электронов 10<sup>14</sup> и 10<sup>15</sup> см<sup>-3</sup> в плазме присутствуют в основном положительные кластерные ионы (преимущественно C<sub>2</sub>O<sub>4</sub><sup>+</sup>), электроны и отрицательные ионы (преимущественно CO<sub>3</sub><sup>-</sup>). Следовательно, положительных кластерных ионов больше, чем электронов, поэтому в результате их рекомбинации кон-

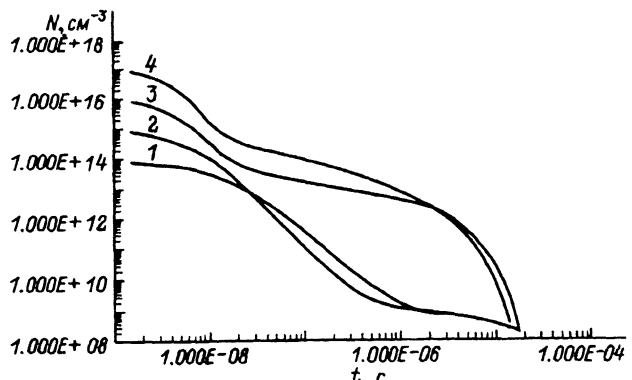


Рис. 1. Зависимости концентрации электронов от времени в среде CO<sub>2</sub> лазера. Начальная концентрация электронов, см<sup>-3</sup>: 1 — 10<sup>14</sup>, 2 — 10<sup>15</sup>, 3 — 10<sup>16</sup>, 4 — 10<sup>17</sup>.

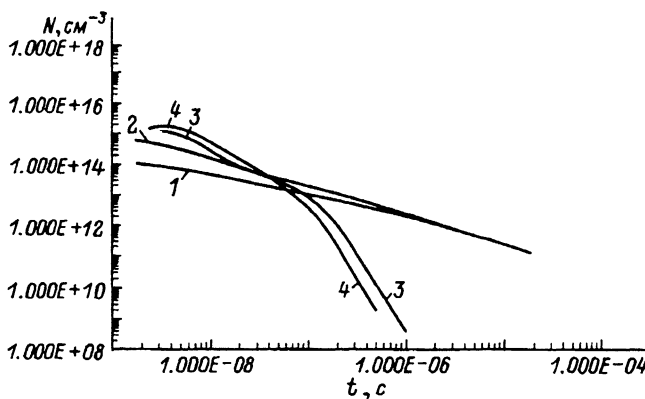


Рис. 2. Зависимости суммарной концентрации положительных кластерных ионов от времени в среде  $\text{CO}_2$  лазера.  
Обозначения те же, что и на рис. 1.

концентрация электронов падает быстрее (рис. 1, кривые 1 и 2) и к моменту времени  $10^{-5}$  с становится  $\sim 10^8 \text{ см}^{-3}$ . Поскольку положительные кластерные и отрицательные ионы рекомбинируют более медленно, то их концентрация к этому моменту времени уменьшается только до уровня  $\sim 10^{11} \text{ см}^{-3}$  (кривые 1 и 2 на рис. 2, кривая 1 на рис. 3).

В случаях с начальной концентрацией электронов  $10^{16}$  и  $10^{17} \text{ см}^{-3}$  существенной к моменту времени  $\sim 10^{-8}$  с становится концентрация иона  $\text{N}_2\text{O}^+$ , причем она начинает превышать концентрацию отрицательных ионов. Это принципиально меняет ход рекомбинации. В отличие от предыдущего случая электронов становится больше, чем положительных кластерных ионов, и концентрация последних уменьшается более быстро (кривые 3 и 4 на рис. 2). Электроны, отрицательные ионы (в основном  $\text{CO}_3^-$  и  $\text{CO}_4^-$ ) и ионы  $\text{N}_2\text{O}^+$  продолжают рекомбинировать с меньшей скоростью. По истечении нескольких микросекунд

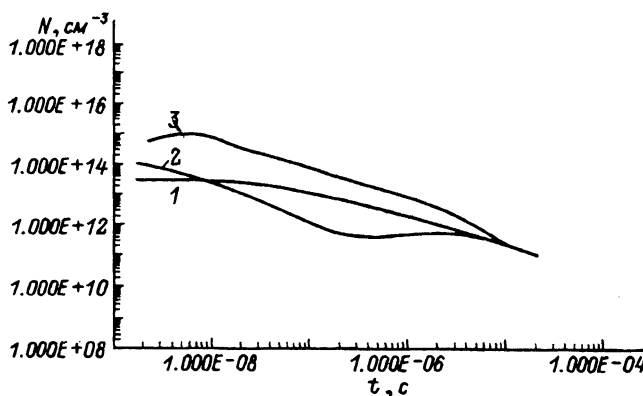


Рис. 3. Зависимости концентрации иона  $\text{N}_2\text{O}^+$  и суммарной концентрации отрицательных ионов от времени в среде  $\text{CO}_2$  лазера.

Суммарная концентрация отрицательных ионов при начальной концентрации электронов,  $\text{см}^{-3}$ : 1 —  $10^{14}$ , 2 —  $10^{17}$ , 3 — концентрация иона  $\text{N}_2\text{O}^+$  при начальной концентрации электронов  $10^{17} \text{ см}^{-3}$ .

становится существенным прилипание электронов к атомарному и молекулярному кислороду. Этот процесс ускоряет убыль концентрации электронов, однако к моменту времени  $10^{-5}$  с она все же остается на уровне  $10^{10} \text{ см}^{-3}$ , т.е. на два порядка больше, чем в предыдущем случае (рис. 1). Выравнивание концентраций электронов происходит примерно к  $1.5 - 2 \cdot 10^{-5}$  с. Концентрация ионов  $\text{N}_2\text{O}^+$  и отрицательных ионов к этому моменту составляет величину  $\sim 10^{11} \text{ см}^{-3}$  (кривые 2 и 3 на рис. 3) и практически совпадает с концентрацией ионов в предыдущем случае.

Таким образом, при повышении максимальной концентрации электронов до уровня  $10^{16} - 10^{17} \text{ см}^{-3}$  убыль из концентрации идет на определенном этапе медленнее, чем в случае  $10^{14}$  и  $10^{15} \text{ см}^{-3}$ , что обусловлено изменением ионного состава плазмы.

Вследствие этого неоднородность к концентрации электронов сохраняется вплоть до  $10^{-5}$  с. При поступлении очередного импульса напряжения это может привести к контракции разряда на ранней стадии его развития.

### Релаксация плазмы в $\text{XeCl}$ лазере

Анализ кинетики процессов релаксации плазмы проводился для смеси  $\text{He}-\text{Xe}-\text{HCl}-\text{H}_2$  соотношением 2000 : 20 : 2 : 1, давлением 2.5 атм и температурой 300 К.

В модель были включены следующие компоненты:  $\text{He}^+$ ,  $\text{He}_2^+$ ,  $\text{He}_3^+$ ,  $\text{Xe}^+$ ,  $\text{Xe}_2^+$ ,  $\text{HeXe}^+$ ,  $\text{Cl}^+$ , электроны,  $\text{Cl}^-$ ,  $\text{He}^*$ ,  $\text{Xe}^*$ ,  $\text{Xe}^{**}$ ,  $\text{XeCl}^*$ ,  $\text{XeCl}(\text{X})$ ,  $\text{HeCl}^*$ ,  $\text{HCl}(\nu)$ ,  $\text{H}$ ,  $\text{Cl}$ . Используемые плазмохимические реакции представлены в табл. 2.

В отличие от случая с  $\text{CO}_2$  средой при моделировании процессов в электрическом поле для получения начальных концентраций заряда  $10^{14}$  и  $10^{15} \text{ см}^{-3}$  использовались константы возбуждения и ионизации, приведенные в работе [6]. Кроме того, в течение первых 100 нс после окончания процессов ионизации учитывались возбуждение, диссоциация и диссоциативное прилипание к  $\text{HCl}$ . Данное предположение оправдано тем, что выше указанные процессы идут в слабых полях, имеющих место в плазме разряда, при этом константы их скорости практически постоянны в широком диапазоне  $E/P$  [12]. Данные по сечениям, использованные в уравнении Больцмана, были взяты из работы [5].

В литературе неоднократно рассматривалась кинетика [2,5] и производилась схема [3] плазмохимических процессов в среде  $\text{XeCl}$  лазера. Необходимо отметить лишь ряд моментов.

Из-за того что для создания начальной концентрации электронов  $10^{16}$  и  $10^{17} \text{ см}^{-3}$  было использовано более сильное электрическое поле, чем для  $10^{14}$  и  $10^{15} \text{ см}^{-3}$ , расчет изменения состава плазмы в течение ионизации показал, что положительный заряд в первом случае был сосредоточен в основном в гелийсодержащих, а во втором в ксеноносодержащих ионах. Однако далее в обоих случаях заряд переходит иону  $\text{Xe}_2^+$ . Параллельно идут возбуждение  $\text{HCl}$ , диссоциация и диссоциативное прилипание (в основном из возбужденного состояния ( $\text{HCl}(\nu)$ )).

Таблица 2. Реакция для среды XeCl лазера

Номер	Реакция	Коэффициент скорости	Ссылка
1	2	3	4
Ионизация			
1	$\text{He} + e \rightarrow \text{He}^+ + 2e$		
2	$\text{Xe} + e \rightarrow \text{Xe}^+ + 2e$		
3	$\text{He}^* + \text{He}^* \rightarrow \text{He}^+ + e + \text{He}$	$2.1 \cdot 10^{-9}$	[2]
4	$\text{Xe}^* + \text{Xe}^* \rightarrow \text{Xe}^+ + e + \text{Xe}$	$5.0 \cdot 10^{-10}$	[2]
5	$\text{He}^* + \text{Xe} \rightarrow \text{Xe}^+ + e + \text{He}$	$1.2 \cdot 10^{-10}$	[2]
6	$\text{HeCl}^* \rightarrow \text{He} + \text{Cl}^+ + e$	$1.0 \cdot 10^{-10}$	[2]
Возбуждение			
7	$\text{He} + e \rightarrow \text{He}^* + e$		
8	$\text{Xe} + e \rightarrow \text{Xe}^* + e$		
9	$\text{HCl} + e \rightarrow \text{HCl}(\nu) + e$	$2.0 \cdot 10^{-8}$	[5]
Диссоциация и диссоциированное прилипание			
10	$\text{HCl} + e \rightarrow \text{H} + \text{Cl} + e$	$2.0 \cdot 10^{-9}$	[2]
11	$\text{HCl}(\nu) + e \rightarrow \text{H} + \text{Cl} + e$	$2.0 \cdot 10^{-9}$	[2]
12	$\text{HCl} + e \rightarrow \text{H} + \text{Cl}^-$	$7.0 \cdot 10^{-11}$	[5]
13	$\text{HCl}(\nu) + e \rightarrow \text{H} + \text{Cl}^-$	$3.0 \cdot 10^{-9}$	[5]
Отрыв			
14	$\text{Cl}^- + e \rightarrow \text{Cl} + 2e$	$2.0 \cdot 10^{-6}$	[2]
15	$\text{H} + \text{Cl}^- \rightarrow \text{HCl}(\nu) + e$	$1.0 \cdot 10^{-9}$	[2]
Передача заряда			
16	$\text{He}^+ + \text{Xe} \rightarrow \text{Xe}^+ + \text{He}$	$1.0 \cdot 10^{-11}$	[2]
17	$\text{He}^+ + 2\text{He} \rightarrow \text{He}_2^+ + \text{He}$	$1.0 \cdot 10^{-31}$	[2]
18	$\text{He}_2^+ + 2\text{He} \rightarrow \text{He}_3^+ + \text{He}$	$4.7 \cdot 10^{-31}$	[2]
19	$\text{He}_3^+ + \text{He} \rightarrow \text{He}_2^+ + 2\text{He}$	$6.1 \cdot 10^{-10}$	[2]
20	$\text{He}_2^+ + \text{Xe} \rightarrow \text{Xe}^+ + 2\text{He}$	$5.9 \cdot 10^{-10}$	[2]
21	$\text{He}_3^+ + \text{Xe} \rightarrow \text{Xe}^+ + 3\text{He}$	$5.0 \cdot 10^{-10}$	[2]
22	$\text{Xe}^+ + 2\text{He} \rightarrow \text{HeXe}^+ + \text{He}$	$1.0 \cdot 10^{-31}$	[2]
23	$\text{HeXe}^+ + \text{He} \rightarrow 2\text{He} + \text{Xe}^+$	$1.8 \cdot 10^{-11}$	[2]
24	$\text{HeXe}^+ + \text{Xe} \rightarrow \text{Xe}_2^+ + \text{He}$	$5.0 \cdot 10^{-10}$	[2]
25	$\text{Cl}^+ + \text{Xe} \rightarrow \text{Xe}^+ + \text{Cl}$	$1.0 \cdot 10^{-10}$	[2]
Рекомбинация			
26	$\text{He}_2^+ + e \rightarrow \text{He}^* + \text{He}$	$3.0 \cdot 10^{-11}$	[2]
27	$\text{He}_3^+ + e \rightarrow \text{He}^* + 2\text{He}$	$1.8 \cdot 10^{-6}$	[2]
28	$\text{Xe}_2^+ + e \rightarrow \text{Xe}^{**} + \text{Xe}$	$2.6 \cdot 10^{-7}$	[2]
29	$\text{He}^+ \text{Cl}^- \rightarrow \text{He}^* + \text{Cl}$	$3.1 \cdot 10^{-9}$	[2]
30	$\text{He}^+ \text{Cl}^- \rightarrow \text{HeCl}^*$	$2.0 \cdot 10^{-6}$	[2]
31	$\text{He}_2^+ \text{Cl}^- \rightarrow \text{HeCl}^* + \text{He}$	$2.0 \cdot 10^{-6}$	[2]
32	$\text{HeXe}^+ \text{Cl}^- \rightarrow \text{XeCl}^* + \text{He}$	$2.0 \cdot 10^{-6}$	[2]

Таблица 2. (продолжение)

1	2	3	4
33	$Xe_2^+ + Cl^- \rightarrow XeCl^* + Xe$	$2.0 \cdot 10^{-6}$	[2]
Тушение и излучение			
34	$Xe^* \rightarrow Xe + h\nu$	$1.5 \cdot 10^8$	[2]
35	$XeCl^* \rightarrow XeCl(X) + h\nu$	$5.0 \cdot 10^7$	[2]
36	$Xe^{**} + Xe \rightarrow Xe^* + Xe$	$1.0 \cdot 10^{-10}$	[2]
37	$XeCl(X) + He \rightarrow Xe + Cl + He$	$1.0 \cdot 10^{-11}$	[2]
38	$HeCl^* + Xe \rightarrow XeCl^* + He$	$1.0 \cdot 10^{-10}$	[2]
39	$Xe^{**} + HCl \rightarrow XeCl^* + H$	$5.6 \cdot 10^{-10}$	[2]
40	$Xe^{**} + HCl(\nu) \rightarrow XeCl^* + H$	$5.6 \cdot 10^{-10}$	[2]
41	$Xe^* + HCl \rightarrow Xe + H + Cl$	$5.6 \cdot 10^{-10}$	[2]
42	$Xe^* + HCl(\nu) \rightarrow Xe + H + Cl$	$5.6 \cdot 10^{-10}$	[2]
43	$XeCl^* + HCl \rightarrow XeCl(X) + H + Cl$	$6.3 \cdot 10^{-10}$	[2]
44	$XeCl^* + HCl(\nu) \rightarrow XeCl(X) + H + Cl$	$6.3 \cdot 10^{-10}$	[2]
45	$HCl(\nu) + He \rightarrow HCl + He$	$6.2 \cdot 10^{-10}$	[2]
46	$HCl(\nu) + HCl \rightarrow 2HCl$	$2.7 \cdot 10^{-10}$	[2]
47	$He^* + HCl \rightarrow He + H + Cl$	$6.0 \cdot 10^{-10}$	[2]
48	$He^* + HCl(\nu) \rightarrow He + H + Cl$	$6.0 \cdot 10^{-10}$	[2]

П р и м е ч а н и е. Размерности коэффициентов скорости одно-, двух- и трехчастичных реакций  $\text{с}^{-1}$ ,  $\text{см}^3 \cdot \text{с}^{-1}$ ,  $\text{см}^6 \cdot \text{с}^{-1}$  соответственно.

Таким образом, в плазме имеют место электрон-ионная и ион-ионная рекомбинации, причем последняя имеет на порядок более высокую константу. Скорость ион-ионной рекомбинации определяется в основном скоростью диссоциативного прилипания, т.е. образования  $Cl^-$ .

Рассмотрим поведение концентрации электронов, используя результаты, представленные на рис. 4 и 5. Так же как и ранее, отсчет времени на графиках ведется с момента достижения заданной начальной концентрации электронов.

Эти данные показывают, что чем больше начальная концентрация электронов, тем выше скорость образования и большее концентрация  $HCl(\nu)$ . По мере уменьшения концентрации электронов скорость образования  $HCl(\nu)$  уменьшается и концентрация его выходит на квазистационарный уровень, поскольку время тушения  $HCl(\nu)$  нейтральными компонентами  $\sim 10^{-4}$  с, т.е. в 10 раз больше рассматриваемого интервала. На поведение  $HCl(\nu)$  оказывает влияние также процесс разложения  $HCl$ . В случае начальной концентрации электронов  $10^{17} \text{ см}^{-3}$  имеет место полное, а в случае  $10^{16} \text{ см}^{-3}$  частичное разложение  $HCl$ . Поэтому после достижения максимума кривая 3 на рис. 4 имеет спад перед выходом на квазистационарный уровень, а кривая 4 спадает до нуля.

Поведение концентрации электронов во времени, показанное на рис. 5, можно объяснить, используя данные для концентрации  $HCl(\nu)$  (рис. 4). Если начальная концентрация электронов  $10^{14}$  и  $10^{15} \text{ см}^{-3}$ , то ее уменьшение идет в основном за счет диссоциативного прилипания из возбужденного состояния  $HCl$ :  $HCl(\nu) + e \rightarrow H + Cl^-$ . Таким обра-

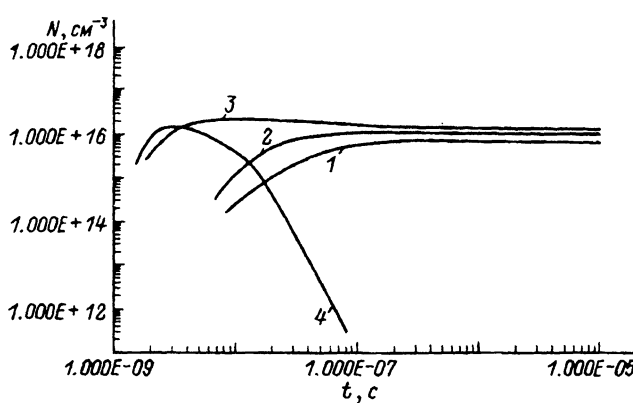


Рис. 4. Зависимости концентрации  $\text{HCl}(\nu)$  от времени в среде  $\text{XeCl}$  лазера.  
Обозначения те же, что и на рис. 1.

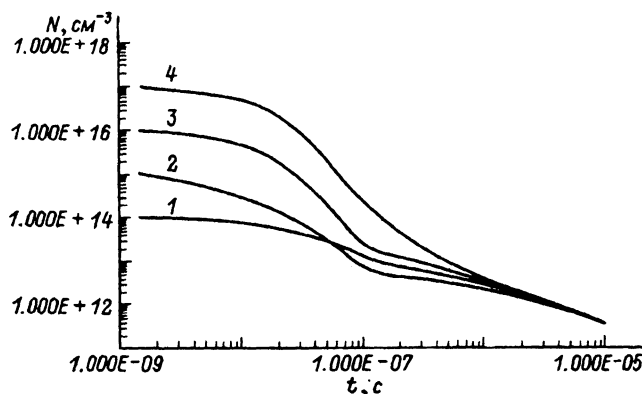


Рис. 5. Зависимости концентрации электронов от времени в среде  $\text{XeCl}$  лазера.  
Обозначения те же, что и на рис. 1.

зом, чем выше концентрация  $\text{HCl}(\nu)$ , тем больше скорость убыли электронов. Этим объясняется более крутой спад кривой 2 по сравнению с кривой 1.

При более высоких уровнях начальной концентрации заряда (кривые 3 и 4) преобладает электрон-ионная рекомбинация, преимущественно  $\text{Xe}_2^+ + e \rightarrow \text{Xe}^{**} + \text{Xe}$ . Кроме того, в течение  $\approx 30$  нс имеет место пеннинговская ионизация



Это существенно отличает ход кривых 3 и 4 от кривых 1 и 2. Как отмечалось выше, в случае начальной концентрации электронов  $10^{17} \text{ см}^{-3}$  (кривая 4) имеет место полное разложение  $\text{HCl}$ , и поэтому в данном случае идет только электрон-ионная рекомбинация. Если начальная концентрация электронов составляет  $10^{16} \text{ см}^{-3}$  (кривая 3), то кроме электрон-ионной рекомбинации имеет место также диссоциативное прилипание, что несколько ускоряет убыль электронов. Этим объясняется то, что к моменту времени  $10^{-7} \text{ с}$  кривые 3 и 4 не сливаются, как это следует из рекомбинационной зависимости  $N_e = 1/\beta t$ , где  $N_e$  — концентрация электронов,  $\beta$  — коэффициент рекомбинации,  $t$  — время.

После  $10^{-7}$  с, когда все процессы, зависящие от поля (в том числе и диссоциативное прилипание), исключались, электрон-ионная рекомбинация постепенно выравнивает концентрацию электронов во всех четырех случаях. К моменту времени  $\sim 10^{-6}$  с она составляет величину  $10^{12} \text{ см}^{-3}$ , а к моменту  $10^{-5}$  с — величину  $\sim 10^{11} \text{ см}^{-3}$ . Такой же уровень имеет и концентрация положительного заряда.

Выравнивание концентрации электронов, однако, не означает полного сглаживания неоднородности, поскольку возможно влияние гидродинамического расширения более нагретого участка плазмы.

## Заключение

В настоящей работе рассмотрен процесс релаксации плазмы объемного разряда в активных средах импульсных  $\text{CO}_2$  и  $\text{XeCl}$  лазеров.

Было проведено сравнение хода рекомбинационных процессов в плазме с концентрацией электронов  $10^{14} - 10^{15} \text{ см}^{-3}$ , типичной для разряда, и  $10^{16} - 10^{17} \text{ см}^{-3}$ , типичной для неоднородностей в разряде.

Показано, что повышение начальной концентрации электронов до уровня  $10^{16} - 10^{17} \text{ см}^{-3}$  качественно меняет ход релаксации плазмы в среде  $\text{CO}_2$  лазера. Это связано с изменением ионного состава плазмы  $\text{CO}_2$  лазера, в частности с существенной концентрацией иона  $\text{N}_2\text{O}^+$ .

Отмечено также, что концентрация заряженных частиц в обеих средах к моменту времени  $\sim 10^{-5}$  с составляет величину  $\sim 10^{11} \text{ см}^{-3}$ .

Результаты расчетов дают основание считать, что неоднородность концентрации электронов может сохраняться в среде  $\text{XeCl}$  лазера до  $\sim 10^{-6}$  с, а в среде  $\text{CO}_2$  лазера до  $\sim 10^{-5}$  с.

Сохранение неоднородности концентрации электронов может привести к искажению электрического поля и, как следствие, к контракции разряда при повторном наложении импульса напряжения. Кроме того, возможно влияние гидродинамического расширения более нагретого участка плазмы.

## Список литературы

- [1] Мартынов И.Н., Мехряков В.Н., Осипов В.В. // ЖТФ. 1992. Т. 62. Вып. 3. С. 58-62.
- [2] Бойченко А.М., Держисев В.И., Жидков А.Г. и др. // Тр. ИОФАН. 1989. Т. 21. С. 44-115.
- [3] Maeda M., Takahashi A., Mizunami T., Miyazoe Y. // Jap. J. Appl. Phys. 1982. Vol. 21. N 8. P. 1161-1169.
- [4] Nakazono H., Fujimoto F. // J. Appl. Phys. 1987. Vol. 62. P. 1585-1594.
- [5] Nakazono H., Midorikawa K., Obara M., Fujioka T. // J. Appl. Phys. 1984. Vol. 56. N 3. P. 680-690.
- [6] Борисов В.М., Кирюхин Ю.Б., Кочетов И.В., Новиков В.П. // Квантовая электрон. 1985. Т. 12. № 8. С. 1641-1649.
- [7] Беляков И.И., Богданов П.И., Месяц Г.А. и др. // Письма в ЖТФ. 1990. Т. 16. Вып. 16. С. 4-7.
- [8] Ракитский Ю.В. и др. Численные методы решения жестких систем. М.: Наука, 1979.
- [9] Смит К., Томсон Р. Численное моделирование газовых лазеров. М.: Мир, 1981.
- [10] Константинов М.Д., Осипов В.В., Суслов А.И. // ЖТФ. 1990. Т. 60. Вып. 10. С. 27-36.
- [11] Lowke J.J., Phelps A.V., Irwin B.W. // J. Appl. Phys. 1973. Vol. 44. N.10. P. 4664-4671.
- [12] Nighan W.L., Brown R.T. // Appl. Phys. Lett. 1980. Vol. 36. P. 498.